

نیروهای ماهیچه‌یی و مفصلی زانو در حین برخاستن از حالت نشسته

فرزاد فرهمند (استادیار)

رؤیانریمانی (مریم)

علی مقداری (استاد)

حمدید فکور علاقه‌بند (کارشناس ارشد)

دانشکده‌ی مهندسی مکانیک، دانشگاه صنعتی شریف

علی‌رغم مطالعات متعدد انجام شده در زمینه‌ی بیومکانیک مفصل زانو، نیروهای ماهیچه‌یی و مفصلی در حرکات توأم با خم شدن عمیق، کمتر مورد بررسی قرار گرفته‌اند. در این مطالعه، نیروهای مفصلی زانو به هنگام برخاستن از حالت نشسته^۱ با استفاده از یک مدل دو بعدی از اندام تحتانی، بررسی و تحلیل شده است. مدل مذبور مفاصل قوزک، درشت‌تنی - رانی^۲ زانو، کشکی - رانی^۳ زانو و لکن، و^۴ گروه مستقلی ماهیچه‌یی پیرامون مفاصل مذبور را شامل می‌شود. معادلات تعادل دینامیکی برای چهار استخوان پا، ساق، ران و کشک، پس از صرف نظر یا ادغام برخی معادلات به منظور کاهش مجھولات ناخواسته، به یک دستگاه نامعین شامل^۵ معادله و^۶ ۱۱ مجھول منجر شد. داده‌های سینماتیکی مورد نیاز با استفاده از ویدئوگرافی، و نیروهای عکس العمل سطح با استفاده از یک صفحه‌ی نیرو به دست آمدند. مجموعه‌ی معادلات نامعین به روش بهینه‌سازی غیر خطی حل شدند. تابع هدف، توان سوم تنفس‌های ماهیچه‌یی انتخاب شد که حداقل خستگی ماهیچه‌یی را سبب می‌شود. نتایج حاصله نشان می‌دهند که بیشترین نیرو در مفصل درشت‌تنی - رانی^{۷/۵} برابر وزن بدن است و در عمیق‌ترین زاویه‌ی خمش زانو رخ می‌دهد. در مفصل کشکی - رانی^۸ بیشترین نیرو در زاویه‌ی زانوی^{۹/۰} درجه اتفاق می‌افتد و حدود^{۱۰} برابر وزن بدن است.

این امر را بی‌شک باید در مرسم نبودن این نوع نشستن در ملل مغرب

مقدمه

مفصل زانو از دیدگاه بیومکانیک، یکی از مهم‌ترین و پیچیده‌ترین

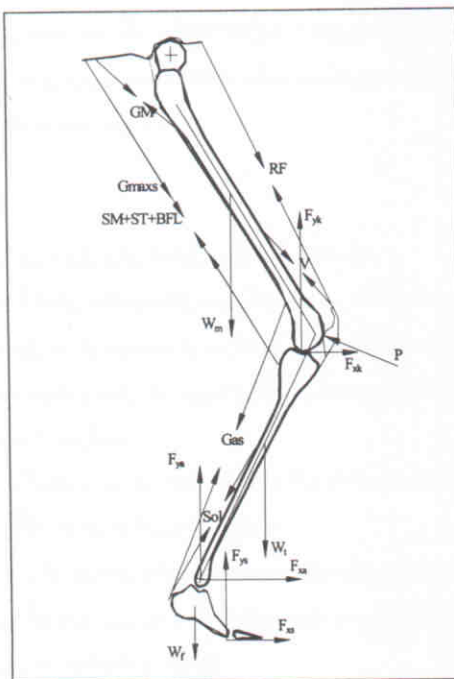
مفاصل بدن است. بدليل محدوده‌ی خمش وسیع و قرارگرفتن در مسیر بردار وزن بدن، بارهای بزرگی بر این مفصل وارد می‌شود. عدم هم‌دیسی سطوح مفصلی زانو موجب پیدایش سطوح تماسی کوچک و در نتیجه تنفس‌های تماسی بزرگ می‌شود. اگر چه حضور منیسک^{۱۱} موجب توزیع گسترده‌تر بار بر روی سطوح مفصلی می‌شود، تنفس‌های تماسی در مفصل زانو همچنان نسبت به اغلب مفاصل دیگر بدن بزرگ‌ترند.^[۱]

مدل‌سازی حرکت

مدل مورد استفاده در این تحقیق یک مدل دو بعدی از اندام تحتانی، شامل ران، کشک، ساق پا است (شکل ۱). موقعیت ران، ساق و پا توسط نیروهای اعمال شده توسط ماهیچه‌های احاطه کننده مفاصل لگن، زانو و مچ کنترل می‌شود. ماهیچه‌ها و دسته ماهیچه‌های در نظر گرفته شده در مدل عبارتند از:

۱. ماهیچه‌های سرینی^۵ که بازکننده مفصل لگن هستند.
 ۲. ماهیچه‌های چهار سر رانی^۶، شامل ماهیچه‌ی راست رانی^۷ و ماهیچه‌های پهن^۸، که بازکننده مفصل زانو هستند. ماهیچه‌ی راست رانی به علاوه خم‌کننده مفصل ران محسوب می‌شود.
 ۳. ماهیچه‌های پشت ران^۹، شامل ماهیچه‌های دو سر رانی^{۱۰}، نیمه‌غشایی^{۱۱} و نیمه‌وتی^{۱۲}، که خم‌کننده مفصل زانو و بازکننده مفصل لگن‌اند.
 ۴. ماهیچه‌های خلفی (پشتی) ساق، شامل ماهیچه‌ی دوقلو^{۱۳} و ماهیچه‌ی نعلی^{۱۴}، که خم‌کننده مفصل مچ‌اند. ماهیچه‌ی دوقلو همچنین خم‌کننده مفصل زانو محسوب می‌شود.
- فرضیات حاکم بر مدل عبارتند از:

ارتباط تنفس‌های تماسی مفاصل و تخریب غضروف مفصلی سبب شده است که مطالعه‌ی نیروهای مفصلی زانو در حرکات مختلف بدنی از جمله موضوعات مورد توجه در بیومکانیک سیستم اسکلتی - ماهیچه‌یی باشد. در این میان، برخاستن از حالت نشسته، از حرکات متداول ایرانیان و دیگر ملل شرق زمین محسوب می‌شود. خمش نیمه‌زانو در وضعیت نشسته، نیروهای بزرگی در این مفصل پدید می‌آورد که ممکن است برای بیماران دچار التهاب (آرتروز) مفصلی و استفاده کنندگان از مفاصل مصنوعی بسیار مخرب باشد. اما علی‌رغم مدل‌های متعددی که از حرکات مختلف بدنی انسان ارائه شده‌اند،^[۲-۶] مطالعات انجام شده در زمینه‌ی حرکات توأم با خمش عمیق، و از جمله برخاستن از حالت نشستن، بسیار نادرند.^[۷] علت

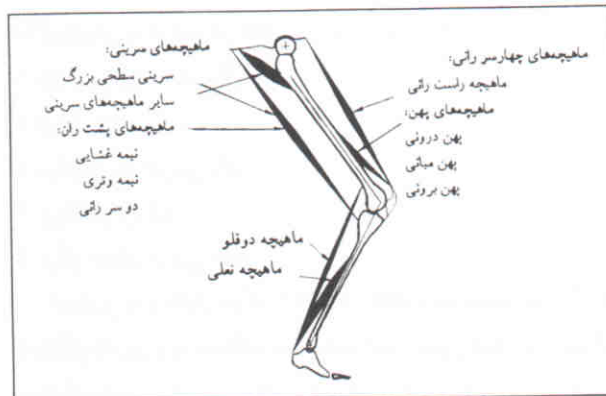


شکل ۲. نیروهای واردہ بر سیستم اسکلتی اندام تحتانی.

$$F_{ya} + F_{ys} + \text{Gas. sin}\theta_{\text{Gas}} - \text{Sol. sin}\theta_{\text{Sol}} - W_f = m_f \cdot a_{fy} \quad (2)$$

$$F_{ys} + d_{ys} + F_{sx} \cdot d_{xs} - \text{Gas. d}_{\text{Gas}} - \text{Sol. d}_{\text{Sol}} - W_f \cdot d_{wf} = I_f \cdot \alpha_f + m_f \cdot a_f \cdot d_a \quad (3)$$

که معادله‌ی تعادل گشتاور در حول مرکز مفصل مج‌نوشته شده است. در معادلات فوق، F_{ys} و F_{xs} نیروهای عکس العمل سطح در امتدادهای افقی و عمودی، و F_{ya} و F_{xa} نیروهای تماسی مفصل قوزک در امتدادهای افقی و عمودی؛ و Sol و Gas نیروی ماهیچه‌ی دوقلو و ماهیچه‌ی نعلی، و m_f جرم و وزن و a_f شتاب پا، ها زوایای نیروهای ماهیچه‌ها با امتداد افق، و d_{wf} فاصله‌ی قائم نیروها تا مرکز مفصل‌اند. با توجه به این که تعیین نیروهای مفصلی لگن مورد نظر نیست، برای این مفصل از معادلات تعادل نیرو صرف نظر شده و بد معادله‌ی تعادل دینامیکی گشتاور، حول مرکز مفصل، اکتفا می‌شود. همچنین برای استخوان کشک، با توجه به شرایط هندسی،



شکل ۱. مدل دو بعدی اندام پائینی شامل قسمت‌های مختلف پا، ساق، ران و ماهیچه‌های اصلی.

۱. در اغلب موارد خط عمل ماهیچه‌ها، خطی مستقیم بین مراکز سطح نواحی اتصال ماهیچه به استخوان در نظر گرفته شده است. اما در مواردی که ماهیچه مسیر خمیده‌ی را طی می‌کند، یا در عمق قرار دارد، خط عمل آن خطی در نظر گرفته شده که از ناحیه‌ی اتصال ماهیچه به استخوان به خط مرکزی ماهیچه مماس می‌شود.

۲. از نیروهای اصطکاکی بین سطوح مفصلی چشم پوشی شده است؛ زیرا ضرب اصطکاک مفصل با حضور مایع زلالی^{۱۵} (سینوویال) در حدود ۱۰۰٪ است.^[۸] با این فرض، برآیند نیروهای افقی و عمودی مفصل از مرکز دوران مفصل می‌گذرد.

۳. استخوان‌های ران، ساق و پا صلب در نظر گرفته شده و از تغییر شکل‌های آنها و نیز سطوح مفصلی صرف نظر شده است.

۴. با توجه به این که مجموعه‌ی ماهیچه‌های سرینی نواحی اتصال متفاوتی دارند، این ماهیچه‌ها به دو گروه ماهیچه‌ی سرینی سطحی بزرگ و دیگر ماهیچه‌های سرینی تقسیک شده‌اند.

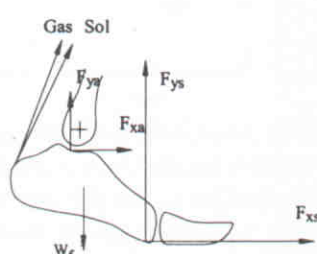
۵. با توجه به این که بخش عمده‌ی نیروی مماسی در مفصل درشتی رانی توسط انحنای سطح طبق درشتی تحمل می‌شود^[۹] از نیروی رباط‌ها^{۱۶} صرف نظر شده است.

۶. با فرض اینکه حرکت برخاستن از حالت نشسته به کندی صورت می‌گیرد از اثرات شتاب‌ها و نیروها و گشتاورهای اینرسی صرف نظر شده است.

فرمول بندی ریاضی مدل

مجموعه‌ی نیروهای واردہ براندام تحتانی در شکل ۲ نشان داده شده‌اند. با ترسیم نمودار آزاد می‌توان معادلات تعادل دینامیکی را برای هر یک از استخوان‌های پا، ساق، ران و کشک نوشت. این معادلات برای پا (شکل ۳) به شرح زیرند:

$$F_{xa} + F_{xs} + \text{Gas. cos}\theta_{\text{Gas}} + \text{Sol. cos}\theta_{\text{Sol}} = m_f \cdot a_{fx} \quad (1)$$



شکل ۳. نمودار آزاد استخوان پا.

علاوه‌نورانی به ترتیب در نقاط ذیل قرار داده شدند:

۱. مفصل پنجم متابولارسال;

۲. قوزک جانبی؛

۳. مرکز دوران تقریبی زانو؛

۴. تروکاتر بزرگ؛

۵. مرکز دوران تقریبی شانه.

تصاویر به نرم‌افزار اتوکد ۱۶ انتقال یافته و موقعیت هر یک از نشانه‌گرها در هر تصویر، یک مدل میله‌یی از بدن فرد در موقعیت متناظر به دست آمد. این مدل‌های میله‌یی برای اندازه‌گیری زاویه‌یی هر یک از اجزای بدن با خط افق مورد استفاده قرار گرفتند (شکل ۴الف).

همچنین با استفاده از مختصات نقاط مرجع کالبدشناختی بر روی هر یک از سه قسمت پا، ساق و ران مدلی از استخوان‌های اندام تحتانی ساخته شد و محل اتصال ماهیچه‌ها بر روی آنها مشخص شد (شکل ۴ب). پس از اعمال دوران‌های متناظر با هر موقعیت از حرکت بر این مدل ماهیچه‌های مورد نظر بر روی آن سوار شدند. بدین ترتیب اندازه‌گیری فاصله‌یی مرکز دوران مفصل تا هر ماهیچه میسر شد (شکل ۴ج).

در اندازه‌گیری فوق، مفاصل لگن و مچ به صورت مفاصل لولایی با مراکز دوران ثابت، و مفصل زانو با مرکز آنی دوران متغیر در نظر گرفته شدند. مؤلفه‌های افقی و عمودی نیروی عکس العمل سطح و نقطه‌یی اثر این نیرو در هر موقعیت از حرکت نیز با استفاده از داده‌های اندازه‌گیری شده توسط صفحه‌یی نیرو محاسبه شدند.

حل مدل

برای حل دستگاه معادلات نامعین، از روش بهینه‌سازی استفاده شد. در به کارگیری روش بهینه‌سازی در بیومکانیک، اختلاف نظر و سیعی در زمینه‌ی انتخاب تابع هدف وجود دارد.^[۱] اما در مطالعات متعدد نشان داده شده است که برای حرکات با سرعت متوسط، از انتخاب تابع هدف مجموع توان‌های سوم تنش‌های ماهیچه‌یی، نسبت به دیگر توابع هدف بهترین نتایج به دست می‌آید.^[۱۰، ۱۱] با کمینه کردن تابع مزبور، در واقع نیروهای ماهیچه‌یی به گونه‌یی توزیع می‌شوند که کمترین خستگی و بیشترین زمان پایداری را در ماهیچه‌ها پیدید آورند.

حل مسئله‌یی بهینه‌سازی توسط نرم‌افزار Matlab انجام شد. تابع هدف، با استفاده از سطح مقطع فیزیولوژیک ماهیچه‌ها، به صورت مجموع توان‌های سوم تنش‌های ماهیچه‌ها تعریف شد. همچنین معادلات تعادل دینامیکی گشتاور بر عنوان قیود تساوی در نظر گرفته

۳. معادله‌یی تعادل در یک معادله ادغام و ۲ مجهول ناخواسته حذف می‌شوند. بدین ترتیب یک دستگاه معادلات نامعین شامل ۸ معادله و ۱۱ مجهول به دست می‌آید.

داده‌ها

داده‌های مورد نیاز برای تحلیل مدل عبارت اند از:

۱. بازوی گشتاور ماهیچه‌های عبورکننده از هر مفصل نسبت به مرکز آن مفصل در هر موقعیت از حرکت؛

۲. مقدار، جهت و محل اثر نیروهای اعمال شده به کف پا در هر موقعیت از حرکت؛

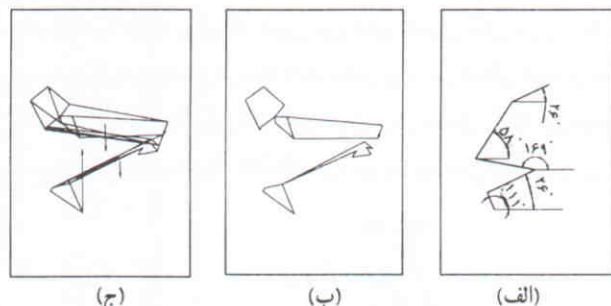
۳. بازوی گشتاور نیروی اعمال شده به کف پا، نسبت به مفاصل مچ زانو و لگن در هر موقعیت از حرکت؛

۴. جرم و مرکز جرم هر یک از سه قسمت پا، ساق و ران؛

۵. بازوی گشتاور وزن پا، ساق و ران نسبت به سه مفصل مچ، زانو و لگن در هر موقعیت از حرکت.

برای بدست آوردن داده‌های سینماتیکی فوق از یک دوربین تصویربرداری ویدیویی، و برای تعیین نیروهای اعمال شده به کف پا از یک صفحه نیرو استفاده شد. دوربین از نوع دستی با سیستم تصویربرداری PAL انتخاب شد و تصاویر گرفته شده توسط آن از طریق یک ویدئو بلاستر به رایانه منتقل و ضبط شدند. برای اندازه‌گیری نیروها نیز یک صفحه نیرو با سه حسگر عمودی و یک حسگر افقی ساخته و کالیبره شد.

در طی آزمایش، فرد بر روی صفحه نیرو قرار گرفته و حرکت برخاستن از حالت نشسته را انجام داد. در این حال، حسگرهای عمودی و افقی صفحه نیرو نیروهای واردہ را اندازه‌گیری کرده و به رایانه انتقال دادند. همزمان موقعیت پنج علامت نورانی که بر روی مفاصل فرد مورد آزمایش نصب شده بودند، توسط دوربین ضبط شد.

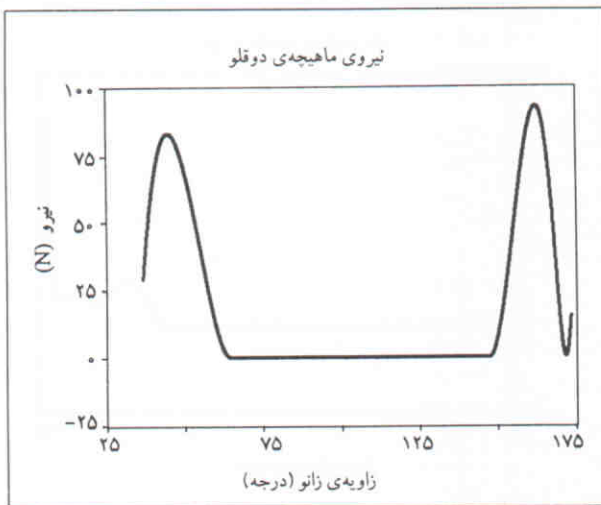


شکل ۴. مدل میله‌یی ساخته شده در یک موقعیت از حرکت:

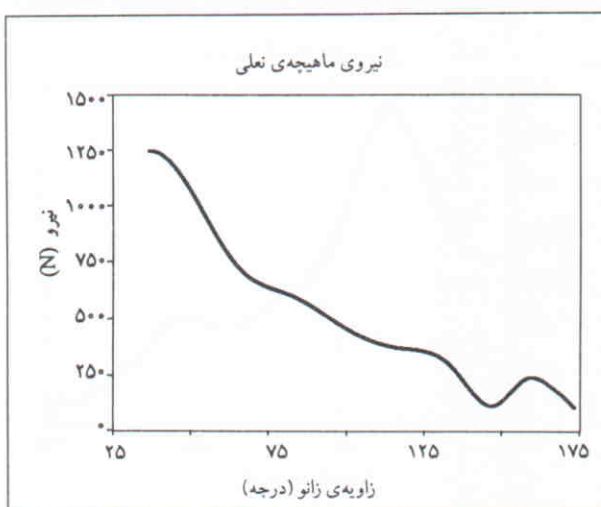
(الف) اندازه‌گیری زاویه‌یی هر یک از اجزای بدن با خط افق؛

(ب) بازسازی استخوان‌های اندام تحتانی و محل اتصال ماهیچه‌ها بر روی آنها با استفاده از مختصات نقاط مرجع کالبدشناختی؛

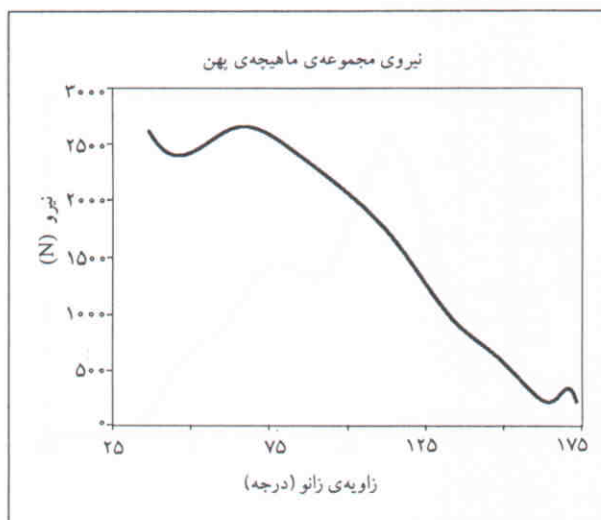
(ج) بازسازی ماهیچه‌ها بر روی استخوان‌ها و اندازه‌گیری فاصله‌یی نیروهای ماهیچه‌ها و مرکز دوران مفاصل.



شکل ۵. تغییرات نیروی ماهیچه‌ی دوقلو نسبت به زاویه‌ی زانو.



شکل ۶. تغییرات نیروی ماهیچه‌ی نعلی نسبت به زاویه‌ی زانو.



شکل ۷. تغییرات نیروی ماهیچه‌های پهن رانی نسبت به زاویه‌ی زانو.

شدند. حد پائین نیروی هر یک از ماهیچه‌ها صفر و حد بالای آن بیشترین نیروی قابل اعمال توسط ماهیچه (براساس تنش بیشینه‌ی مجاز و سطح مقطع فیزیولوژیک ماهیچه) در نظر گرفته شد. با حل مسئله‌ی بهینه‌سازی، نیروهای ماهیچه‌ها محاسبه شدند و در مرحله‌ی بعد، معادلات تعادل نیرو به صورت یک دستگاه معادلات معین حل شدند تا سایر مجھولات نیز بدست آیند.

نتایج

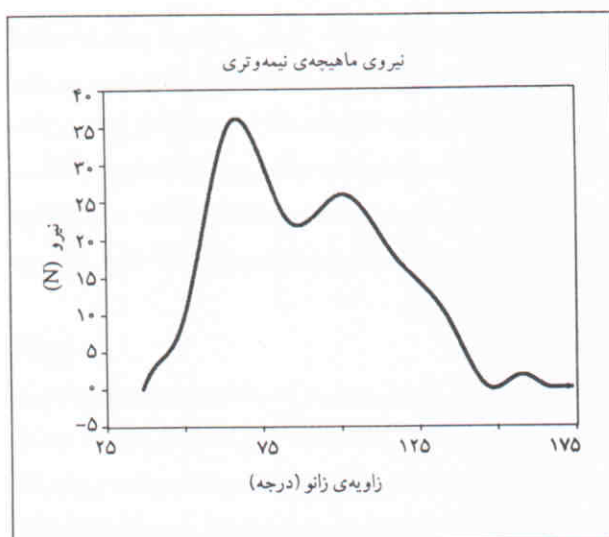
نیروهای ماهیچه‌های مختلف در حین حرکت برخاستن از حالت نشسته در شکل‌های ۱۳ الی ۱۵ مشاهده می‌شوند. بیشترین نیروی ماهیچه‌ی در گروه ماهیچه‌های پهن رانی و در زاویه‌ی ۵۰ درجه زانو اتفاق افتاد. ماهیچه‌ی راست رانی در شروع حرکت غیرفعال و در مقابل ماهیچه‌های پهن رانی دارای بیشترین فعالیت بودند. در گروه ماهیچه‌های سرینی نیز بجز ماهیچه‌ی سرینی بزرگ سطحی که در این حالت غیرفعال بود، بیشترین نیرو در زاویه‌ی ۵۰ درجه زانو مشاهده شد. نیروی ماهیچه‌ی دوقلو در مقایسه با ماهیچه‌ی نعلی بسیار کوچک بود.

نمودار تغییرات نیروهای عمودی و افقی مفصل درشت‌ئی - رانی نسبت به زاویه‌ی زانو در شکل‌های ۱۴ و ۱۵ ارائه شده است. ملاحظه می‌شود که هر چه زاویه‌ی زانو کمتر باشد، نیروهای عمودی و افقی واردہ بر مفصل زانو بیشتر خواهد بود. بیشترین نیروی تماسی در مفصل زانو در لحظه‌ی آغاز حرکت و زاویه‌ی حدود ۴۰ درجه اتفاق افتاد و مقدار آن برای نیروی عمودی حدود ۴۳۰۰ نیوتون و برای نیروی افقی حدود ۱۰۰۰ نیوتون بود. با توجه به وزن بدن فرد مورد آزمون، این نیروها به ترتیب در حدود $7/67$ و $1/78$ برابر وزن بدن‌اند. نیروهای واردہ بر مفصل کشککی - رانی نیز بحسب زاویه‌ی زانو در شکل ۱۶ نشان داده شده‌اند. همان‌گونه که مشاهده می‌شود، بیشترین مقدار این نیرو در حدود 2000 نیوتون ($3/57$ برابر وزن بدن) به دست آمد.

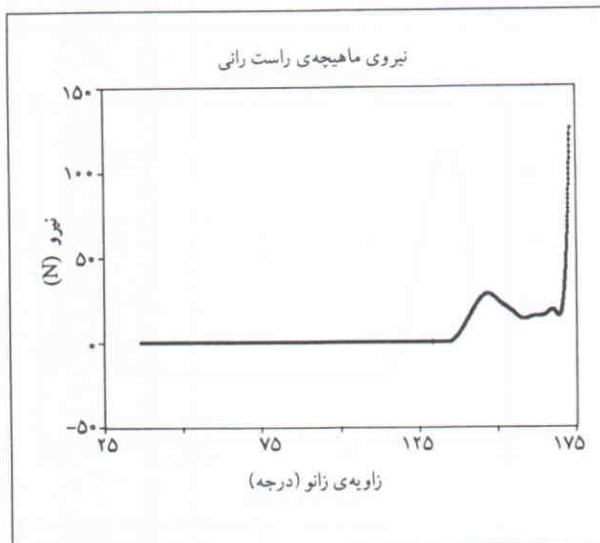
بحث

در این مطالعه از یک مدل دوبعدی برای تحلیل نیروهای واردہ بر مفصل زانو در هنگام برخاستن از حالت نشسته استفاده شد. تحقیقات نشان می‌دهد که نیروهای جانی بوجود آمده در هنگام راه رفتن از حدود $2/0$ برابر وزن بدن تجاوز نمی‌کنند.^[۱۲] انتظار می‌رود این نیروها در حرکت برخاستن از حالت نشسته از این مقدار نیز کمتر باشند و لذا استفاده از یک مدل دوبعدی در این مطالعه کاملاً قابل توجیه است.

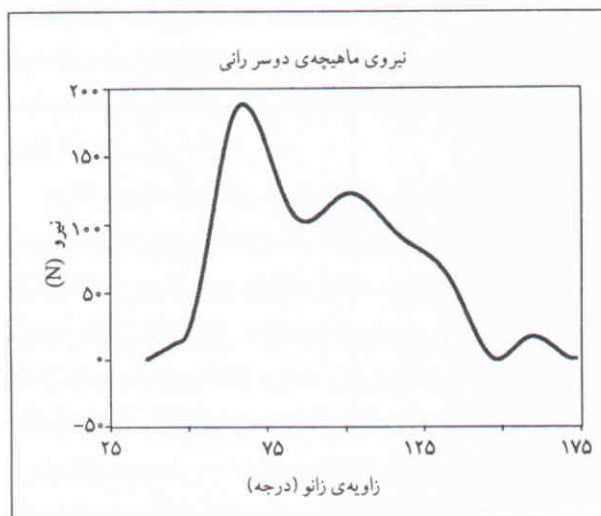
شایان ذکر است که در زوایای کمتر از ۴۰ درجه‌ی زانو، تماس



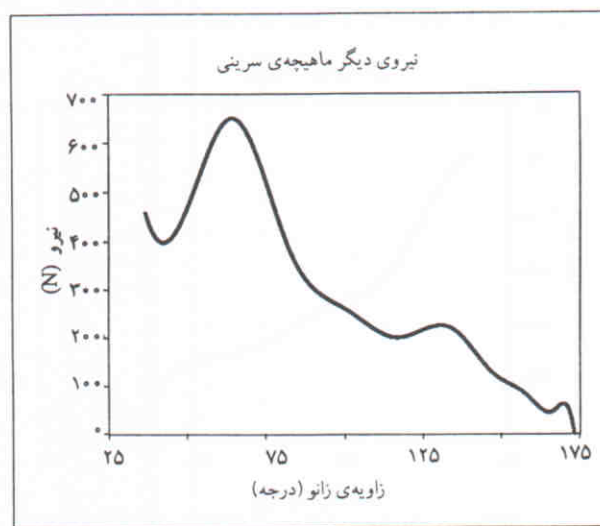
شکل ۸. تغییرات نیروی ماهیچه‌ی راست رانی نسبت به زاویه‌ی زانو.



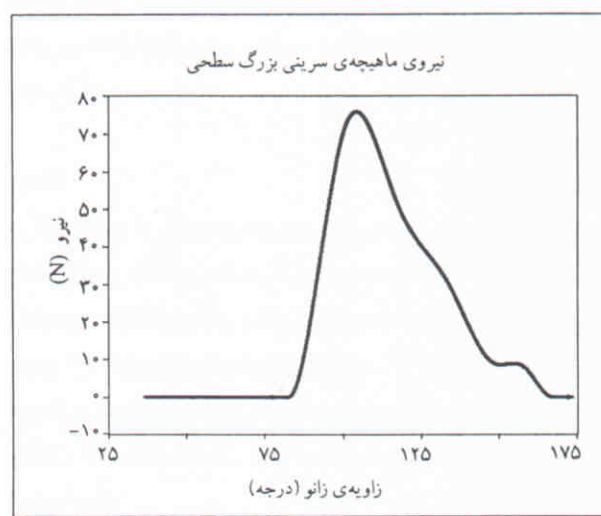
شکل ۹. تغییرات نیروی ماهیچه‌ی سرینی به جز ماهیچه‌ی سرینی بزرگ سطحی نسبت به زاویه‌ی زانو.



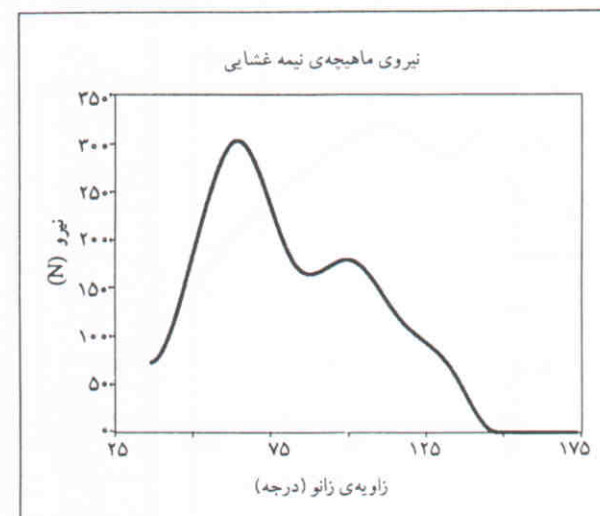
شکل ۱۰. تغییرات نیروی ماهیچه‌ی سرینی به جز ماهیچه‌ی سرینی بزرگ سطحی نسبت به زاویه‌ی زانو.



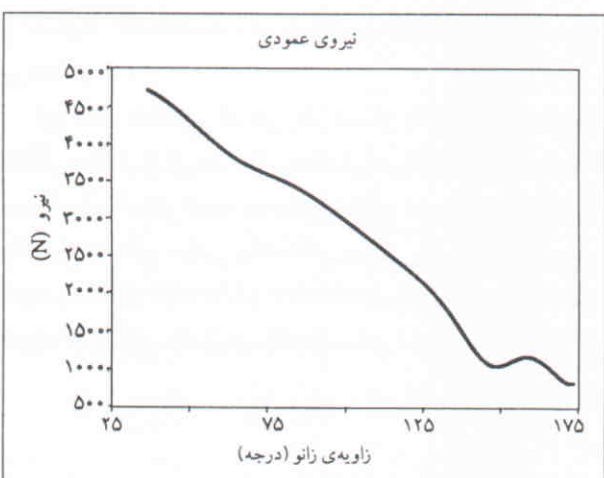
شکل ۱۱. تغییرات نیروی ماهیچه‌ی نیمه غشایی نسبت به زاویه‌ی زانو.



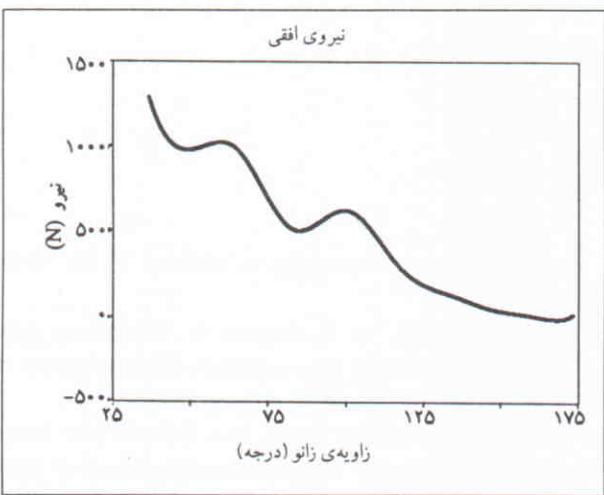
شکل ۱۲. تغییرات نیروی ماهیچه‌ی دوسرانی بلند نسبت به زاویه‌ی زانو.



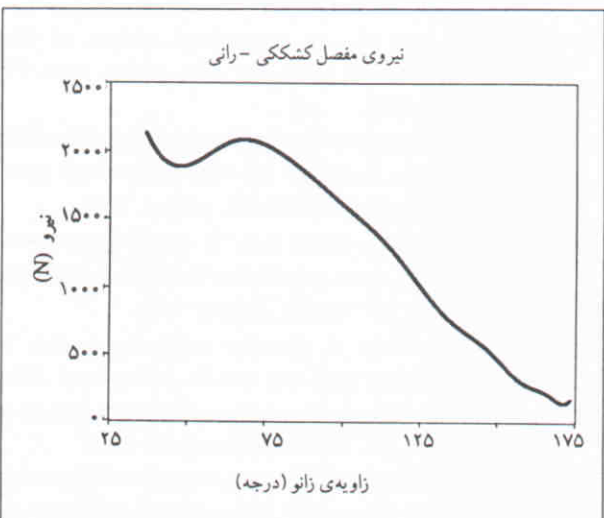
شکل ۱۳. تغییرات نیروی ماهیچه‌ی نیمه غشایی نسبت به زاویه‌ی زانو.



شکل ۱۴. تغییرات نیروی عمودی مفصل درشت‌نئی - رانی نسبت به زاویه زانو.



شکل ۱۵. تغییرات نیروی افقی مفصل درشت‌نئی - رانی نسبت به زاویه زانو.



شکل ۱۶. تغییرات نیروی مفصل کشککی - رانی نسبت به زاویه زانو.

بافت‌های پشت ران و پشت ساق به هم امری اجتناب ناپذیر است؛ با توجه به این‌که در این مدل این موضوع در نظرگرفته نشده، نمی‌توان از نتایج بدست آمده برای زوایای زیر 40° درجه‌ی زانو استفاده کرد. تنها مطالعه‌ی یافته شده‌ی پیشین در زمینه‌ی تحلیل نیروهای مفصلی در حالت خمش عمیق زانو^[۷] نیز مدل به صورت دو بعدی در نظر گرفته شده است. اما برای کاهش تعداد مجھولات و تبدیل مسئله به یک مسئله‌ی معین، فرض‌های متعدد اضافی به عمل آمده است. از جمله، فرض شده است که تنها شش گروه ماهیچه وجود دارند که ماهیچه‌های هر گروه با هم فعال یا غیرفعال می‌شوند، گروه‌های ماهیچه‌ها تنها به صورت هماورده^[۷] عمل می‌کنند و حول هر مفصل گشتاوری مساوی اعمال می‌کنند.

در مدل حاضر، تعداد گروه‌های ماهیچه بی به ۹ عدد افزایش یافته و با اجتناب از فرض‌های اضافی فوق، مسئله نامعین حاصله با روش بهینه‌سازی مورد تحلیل قرار گرفته است.

از نیروهای محاسبه شده برای ماهیچه‌ها می‌توان نتیجه گرفت که در هر گروه ماهیچه، شامل ماهیچه‌های تک‌مفصلی و دوم‌مفصلی، ماهیچه‌ی دوم‌مفصلی در شروع حرکت قادر فعالیت و یا دارای فعالیتی اندک است. به نظر می‌رسد که علت این امر غیر هم جهت بودن گشتاور حاصل از نیروهای خارجی بر روی مفاصل مجاور هم (مچ و زانو یا زانو و لگن) در شروع حرکت باشد که به نیروی زیادی نیاز دارد. به عبارت دیگر، اگر ماهیچه‌ی دوم‌مفصلی فعال شود، با وجود این‌که به تعادل گشتاور حول یک مفصل کمک می‌کند، از آنجاکه هنگام اعمال نیرو طول آن افزایش می‌یابد، در مفصل دیگر کار منفی انجام می‌دهد. به عنوان مثال، اگر در شروع حرکت ماهیچه‌ی راست رانی فعال شود، موجب پیدایش گشتاور خم‌کننده در مفصل لگن می‌شود که این گشتاور در جهت خلاف حرکت عمل می‌کند. در مقابل، در انتهای حرکت، فعال شدن ماهیچه‌ی راست رانی و اعمال گشتاور خم‌کننده در مفصل لگن در خلاف جهت حرکت، موجب افزایش پایداری و تعادل بدن می‌شود. در مورد ماهیچه‌های نعلی و دوقلو که در گروه ماهیچه‌های پشت ساق قرار دارند و ماهیچه‌های سرینی و سرینی بزرگ سطحی نیز این امر صادق است.

برای گروه ماهیچه‌های پشت ران، شامل ماهیچه‌های نیمه‌غشایی و نیمه‌وتری و دو سر رانی بلند، با توجه به این‌که همه‌ی این ماهیچه‌ها دوم‌مفصلی‌اند، می‌توان مشاهده کرد که همه‌ی آنها در تمامی مدت حرکت فعال‌اند و نیروی آنها به گونه‌یی است که مجموع گشتاورهای آنها حول مفصل لگن با گشتاور حاصله از نیروهای ماهیچه‌های سرینی حول مفصل لگن برابر است.

از نیروهای محاسبه شده برای مفاصل می‌توان نتیجه گرفت که بیشترین نیرو در مفصل درشت‌نئی - رانی در لحظات آغازین حرکت

توجه به فرضیات اضافی به عمل آمده در مدل مرجع ۷ بمنظور می‌رسد تنتایج مطالعه‌ی حاضر تخمین بهتری را از نیروهای منصلی ارائه می‌دهند.

افزایش نیروهای منصلی همراه با زاویه‌ی خم شانو، که تا عمق‌ترین زوایای خم شانو نیز ادامه می‌یابد، مؤید این توصیه‌ی کلینیکی است که بیماران دچار التهاب منصلی، استفاده کنندگان از مفاصل مصنوعی و کلیدی بیمارانی که از درد زانو رنج می‌برند، لازم است از حرکات توأم با خم شانو عمیق زانو جداً اجتناب کنند.

برخاستن از حالت نشسته و در عمق‌ترین زاویه‌ی خم شانو رخ می‌دهد.

این نتیجه با تنتایجی که علی‌رغم خم شانو تا ۱۳۵ درجه، نشانگر بزرگ‌ترین نیروی تماس منصلی در زاویه‌ی خم شانو ۱۱۰ درجه است،^[۷] مغاییر است. همچنین مقادیر نیروهای تماسی در مفاصل درشت‌نهی - رانی و کشککی - رانی در مطالعه‌ی مزبور به ترتیب معادل $4/7-5/6$ و $4/6-7/6$ برابر وزن بدن گزارش شده‌اند که با تنتایج حاصل از مطالعه‌ی حاضر اختلاف نسبی دارند. با

پانوشت‌ها

1. squat
2. tibiofemoral
3. patellofemoral
4. meniscus
5. gluteus
6. quadriceps femoris
7. rectus femoris
8. vasti
9. hamstring
10. biceps femoris longus
11. semi-membranous
12. semi-tendinous
13. gastrocnemius
14. soleus
15. synovial fluid
16. ligaments
17. agonist

منابع

1. Mov V.c., Hayes W.c. **Basic orthopaedic biomechanics**, Raven press, New York, (1991).
2. Morrison J.B. "Function of knee joint in various activities", *Biomedical Engineering*, 4, PP. 573-579, (December 1969).
3. Ellis M.I., Seedhom B.B., Wright V. "Forces in the knee joint whilst rising from a seated position", *Journal of Biomedical Engineering*, 6, PP. 113-120, (April 1984).
4. Ellis M.I., Seedhom B.B., Amis A.A., Wright V., Dowson D. "Forces in the knee joint whilst rising from normal and motorized chairs", *Engineering in Medicine*, 8, PP. 33-40, (April 1979).
5. Nisell, R., Ericson, M. O., Nemeth, G. "Tibiofemoral joint forces during isokinetic knee extension", *American Journal of Sport Medicine*, 17, PP. 49-54, (January 1989).
6. Kaufman, K.R., An K.N., Litchy, W.J. "Dynamic joint forces during knee isokinetic exercise", *American Journal of Sport Medicine*, 19, PP. 305-316, (May 1991).
7. Dahlkvist N.J., Mayo P., Seedhom B.B. "Forces during squatting and rising from a deep squat", *Engineering in Medicine*, 11, PP. 69-76, (April 1982).
8. Radin E.L., Paul I.L. "A consolidated concept of joint lubrication", *Journal of Bone and Joint surgery*, 54-A, PP. 607-613, (April 1972).
9. Seedhom B.B., Terayama K. "Knee forces during the activity of getting out of a chair with and without the aid of arms", *Biomedical Engineering*, PP. 278-282, (August 1976).
10. Crowninshield R.D., Brand R.A. "A physiologically based criterion of muscle force prediction in locomotion", *Journal of Biomechanics*, 14, PP. 793-801, (August 1981).
11. Prilutsky B.I., Isaka T., Albrecht A.M., Gregor R.J. "Is coordination of two joint leg muscles during load lifting consistent with strategy of minimum fatigue?", *Journal of Biomechanics*, 31, PP. 1025-1034, (November 1998).
12. Morrison J.B. "The mechanics of the knee joint in relation to normal walking", *Journal of Biomechanics*, 3, PP. 51-61, (January 1970).